



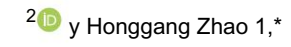
Comunicación

Propiedades fotocromáticas en luz visible de un material inorgánico-orgánico Película delgada híbrida de ácido fosfomolíbdico/politiofeno

Wanging Zhao

¹, Hongmei Zhao

1, wei fena



- Escuela de Química e Ingeniería Química, Universidad Normal de Xinjiang, Urumqi 830054, Laboratorio clave
- de recursos de aguas subterráneas y medio ambiente de China, Ministerio de Educación, Universidad de Jilin, Changchun 130021,

China * Correspondencia: xjnu1609@xjnu.edu.cn

Resumen: Se sintetizó una película híbrida fotocromática de luz visible a partir de la combinación de ácido fosfomolíbdico (PMoA) con la matriz de politiofeno (PTh). La microestructura y las propiedades fotocromáticas de los materiales se analizaron mediante microscopía de fuerza atómica (AFM), espectroscopia infrarroja por transformada de Fourier (FTIR), espectroscopia fotoelectrónica de rayos X (XPS) y espectros ultravioleta-visible (UV-vis). Según los espectros FTIR, las geometrías de PMoA y PTh se conservaron bien en una película híbrida y existe una fuerte interacción en la interfaz de PMoA y PTh. Los espectros XPS revelaron el cambio en el microambiente químico y la reducción de átomos de Mo6+ en la reacción de fotorreducción. Bajo irradiación de luz visible, la película compuesta cambió de transparente a azul y se profundizó gradualmente, generando un azul heteropolio. La película híbrida también muestra reversibilidad en presencia de oxígeno. Los resultados indicaron que la reacción fotocrómica era inconsistente con el mecanismo de transferencia de electrones fotoinducido.

Palabras clave: ácido fosfomolíbdico; politiofeno; fotocromismo; película híbrida



Cita: Zhao, W.; Zhao, H.; Feng, W.; Zhao, H. Propiedades fotocromáticas de luz visible de una película delgada híbrida de ácido fosfomolíbdico inorgánico-orgánico/politiofeno Química 2024. 6, 469-475, https://doi.org/ 10.3390/química6030026

Editor académico: Matthias Lehmann

Recibido: 25 de abril de 2024 Revisado: 1 de junio de 2024 Aceptado: 5 de junio de 2024 Publicado: 7 de junio de 2024



Copyright: © 2024 por los autores. Licenciatario MDPI, Basilea, Suiza. Este artículo es un artículo de acceso abierto. distribuido bajo los términos y condiciones de los Creative Commons Licencia de atribución (CC BY) 4.0/)

1. Introducción

Los materiales fotocromáticos se consideraron un foco de investigación prometedor en materiales funcionales y se aplicaron en los campos de materiales ópticos de almacenamiento de información, dispositivos fotoeléctricos, conmutación óptica e investigación biomédica [1-4]. En los últimos años, el desarrollo de materiales compuestos inorgánicos/orgánicos y la introducción de tecnología de autoensamblaje, química de plantillas y otros métodos en la preparación mejoraron en gran medida las propiedades fotocromáticas de los materiales, proporcionando una dirección de aplicación más amplia [5,6].

Los heteropolioxometalatos son uno de los materiales fotocromáticos más populares debido a su alta reducibilidad por oxidación, alta conductividad de protones y excelente solubilidad [7,8]. Para aumentar el potencial de aplicación de los heteropolioxometalatos, se han realizado esfuerzos para introducirlos en redes poliméricas para mejorar las propiedades físicas de los materiales fotocromáticos, como la resistencia mecánica, la transparencia óptica y la maquinabilidad [9-11]. Los heteropolioxometalatos, como portadores de carga aniónica, se utilizaron en películas desordenadas, como las películas sol-qel, uniéndose con grupos catiónicos en cadenas de polímeros orgánicos a través de interacciones débiles como enlaces de hidrógeno, fuerza electrostática y fuerza de van der Waals. Sun y sus compañeros de trabajo [12] sintetizaron una película híbrida de PMoA/polivinilpirrolidona (PVP) y descubrieron que la causa principal de la reacción fotoquímica era la transferencia de protones entre la matriz de PMoA y PVPd. La interacción de polioxometalatos y polímeros a través de enlaces no covalentes ofreció un enfoque útil para mejorar las propiedades físicas y químicas de los materiales fotocromáticos inorgánicos/orgánicos.

El politiofeno (PTh) tiene buena estabilidad fotoeléctrica, buenas propiedades de formación de película, alta conductividad y un ancho de banda prohibida bajo de 2,02 eV, lo que tiene un gran potencial de aplicación en química fotoeléctrica. La PTh tiene un gran sistema de electrones $(https://\ creative commons.org/licenses/by/conjugados\ con\ \pi\ y\ su\ capacidad\ de\ dar\ electrones\ es\ mejor\ que\ la\ del\ polipirrol\ y\ la\ polianilina.\ PTh\ puede\ formula del polipirrol\ y\ la\ polianilina.$

Química 2024. 6

El politiofeno (PTh) tiene buena estabilidad fotoeléctrica, buenas propiedades de formación de película, alta conductividad y un ancho de banda prohibida bajo de 2,02 eV, lo que tiene un gran potencial de aplicación en química fotoeléctrica. La PTh tiene un gran sistema de electrones conjugados con π y su capacidad de dar 470 electrones es mejor que la del polipirrol y la polianilina. PTh puede formar un puente de transferencia de carga con heteropolioxometalatos y heteropolioxometalatos y un puente de transferencia de policarga de PTh con besesopolioxometalatos y heteropolioxometalatos y un puente de transferencia de policarga de PTh con besesopolioxometalatos y heteropolioxometalatos y un puente de transferencia de policarga de PTh con besesopolioxometalatos y heteropolioxometalatos y un puente de transferencia de policarga de PTh con besesopolioxometalatos y un puente de transferencia de policarga de PTh con besesopolioxometalatos y un puente de transferencia de PTh, se sinvestado a de PTh, se s

2. Materiales y Métodos 2. Materiales y Métodos

2.1. Preparación 2.1. Preparación

El ácido posfomolíbdico (H3PMo12O40, PMoA) se reutilizó después de la recristalización secundaria y los otros productos químicos se usaron tal como se recibieron sin pulificación adicional. La substitución y los demás productos químicos se utilizaron tal como se recibieron primero en una solución de Piranha (acido sulfurico:peroxido de hidrógeno = 7:3). Los sustratos se sumergieron primero en una solución de Piranha (ácido sulfurico: peróxido de hidrógeno = 7:3).

relación volvmétrica) durante 1449-mix a 1553 K se luego se lavó sacuencialmente con agua desionizada- relación transal vebes. Elles vagi de veces no lagrades de sar encionemico, con also publica de sustratos y alcohol etilico se sensal valva por acuencialmente con agua desionizada- relación transal vebes. Elles vagi de veces no lagrades de sar encionemico, con also publicada de sustratos y alcohol etilico se sensal valva por acuenta de la construcción de la constr

թին հանշենն աշտերին ու մասին հայանի հայան

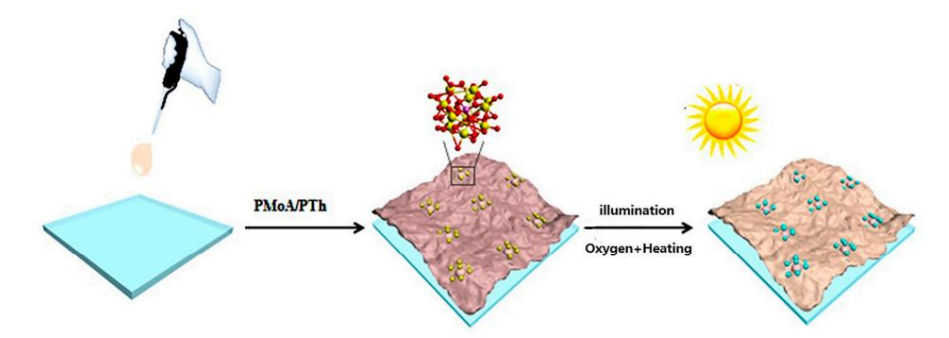


Figura 1. Proceso de síntesis y reacción fotocrómica.

2.2. Chartenage AFM de las muestras se obtuvieron en un microscopio de fuerza atómica de 300 HV (Seiko, Tokio, Japón). Los espectros FTIR se determinaron con un infrarrojo por transformada de Fourier Nicolet 550. (Seiko, espectrometro (Nicolet, Madison, VVI, EE. UDI.) en el rango de número de onda de 500 a 4000 Cm-1 . XPS Tokio, Japón) Los espectros FTIR se determinaron con un infrarrojo por transformada de Fourier Nicolet 550. (Seiko, espectrometro (Nicolet, Madison, VVI, EE. UDI.) en el rango de número de onda de 500 a 4000 Cm-1 . XPS Tokio, Japón Los espectros FTIR se determinaron con una resolución de número de onda de 500 a 4000 cm-1 . XPS Waltham, PRA EE OTIPO (Nicolet Agrico (Para de 1886) a 4000 cm-1 . XPS Waltham, Las curvas de assorbancia se midieron en un espectrofotómetro (Para de 1886) a 4000 cm-1 . XPS Waltham, United (Para de 1886) a 4000 cm-1 . XPS Waltham, Las curvas de absorbancia se midieron en un espectrofotómetro UV-Vis (JASCO, 2.3. Experimentos Tokio, Japón) con una resolución óptica de 1 nm en el rango de 400 a 900 nm.

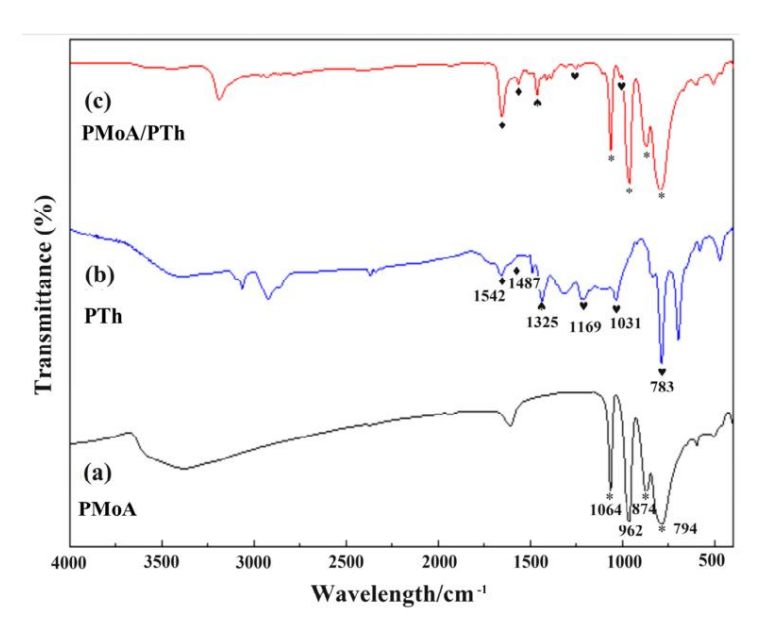
Los experimentos fotocromáticos se llevaron a cabo utilizando una lámpara Xe de 300 W (PLS-SXE, Beijing Perfectlight Technology Co., Ltd., Beijing, China) con un filtro UV (pase por encima de 400 nm longitud de onda) como fuente de luz visible sin ninguna otra fuente de luz. La distancia entre La lámpara y la película se ajustaron a 150 mm. Se realizaron experimentos de irradiación de luz visible. Realizado en el aire para obtener una serie de curvas de absorbancia bajo diferentes irradiaciones.

Química 2024, 6

Los experimentos fotocromáticos se llevaron a cabo utilizando una lámpara Xe de 300 W (PLS-SXE, Beijing Perfectlight Technology Co., Ltd., Beijing, China) con un filtro UV (que pasa por encima de una longitud de onda de 400 nm) como fuente de luz visible sin ninguna otra luz. fuentes. La distancia entre la lámpara y_{dia} película se ajustó a 150 mm. Se realizaron experimentos de irradiación de luz visible en el aire para obtener una serie de curvas de absorbancia bajo diferentes tiempos de irradiación. Luego la película compuesta se பு அது புலக்கு நித்தையூத்தில் நித்து வருக்கு வருக்கு வருக்கு வருக்கு நித்து வருக்கு நித்து வருக்கு நித்து வருக்கு வரு auscresh dase midió la absrebancias preespondiente se realizaron todos los experimentos y se midió la trealizado a temperatura ambiente. a

33.FRessultantes

Lossespectros FTIIR de películas hibridas PMbAA, PTIhyPMbAAFTThoprasserebtanogold400-4000-4900 semilisaranyastrangan ta itigyrao2 de assercas da asserción/sons 1542; com 104 did87 dem-1 abacidións característicos del tantello colo tie feno la subcan clasificato pacione estrabación sa atende tricas asintátrican de lamiestra piditio sina étraspodir amente. El pico de absorción cateasterística a 1025 cm-15 secatitibuyóca Javithantón decestitamiento CSS del antibuda politica feno, y el pico anillo de politiofeno, y el pico de absorción a 1031 cm-1 y 1169 cm-1 se atribuye a la vibración de flexión en el El picoade absorción au 783 con la se atil nume a ula vibración de flexión fuera del plana del CH sere de puede per la estructura de PTh está intacta. PTh está intacta ¼/nodestrilificen/apelicula/hirida ¼/aestricturageométireade PTh/tedavía se conservaba en la película compuesta.



Ffigures 2. Esspectross FTITIR de poelículas hibridas PMtoA, PTh y PMtoA/PTh.

Ethelesspection the PMMAPPTh, have custion bandes tipicas en 1964, 962, 87/44, 794 794 cm-1 COM-OC-MO), V V(MO-OC-MO), COMPOSITE REPORTED A VILLE REPORTED AS A COMPOSITE OF THE PROPERTY que son similares a las de PMoA puro y solo tiene algunos cambios. Demuestra que la Oc-Mo), que son similares a los de PMoA puro y solo tienen algunos desplazamientos. Demuestra que la

Oc. Mn), squi de main a la compuesta de la compuesta el compuesta. El Estratos que la geometría Keggin de PMoA se conserva en la película compuesta. El Estratos que la geometría Keggin de PMoA se conserva en la película compuesta. La longitud de onda infrarroja infrarroja de PMoA en la película compuesta se transforma debido a la mejora La longitud de onda de PMoA en la película compuesta se transforma debido a la interacción culombio-coulomb mejorada entre PMoA y el sustrato polimérico, y se produce la transferencia de carga. Interacción entre PMoA y sustrato de polímero, y se produce la transferencia de carga. Las imagenes AFM (Figura 3) representan la morfología de la superficie de PTh puro y PMoA/PTh Las imagenes AFM (Figura 3) representan la morfología de la superficie de películas hibridas de PTh puro y PMoA/PTh antes y después de la irradiación con luz visible. La película de PTh (Figura 3a) muestra la Películas hibridas antes y después de la irradiación con luz visible. La película de PTh (Figura 3a) muestra la Películas norma de pico de tamaño de partícula similar y la raiz media de rugosidad cuadrática (RMS). estructura conformada de tamaño de partícula similar y la rugosidad cuadrática media (RMS) fue de 7 millas náuticas. Como se muestra en la Figura 3b, c, la morfología de la película cambió obviamente después de la 7 millas náuticas. Como, se muestra en la Figura 3b, c, la morfología de la película cambió obviamente después de la 7 millas náuticas. Como, se muestra en la Figura 3b, c, la morfología de la película cambió obviamente después de la 7 millas náuticas. Como se muestra en la Figura 3b, c, la morfología de la película cambió obviamente después de la combinación de PTh y PMoA; el RMS de las películas hibridas PMoA/PTh fue de 18 nm (en comparación combinación de PTh y PMoA; el RMS de las películas híbridas PMoA/PTh fue de 18 nm (en comparación con 7 nm para PTh). Se puede inferir que la interacción de los enlaces de hidrógeno entre PTh

Las cadenas de polímeros se ven interferidas por la acción de partículas de PMoA bajo la interacción. Fuerza de los enlaces de hidrógeno entre las cadenas poliméricas de PMoA y PTh. Después de la luz óptica iluminación, el RMS de las películas compuestas PMoA/PTh aumentó de 18 a 31 nm, lo que indicó la formación de azul heteropoli en la reacción de fotorreducción y transferencia de protones. aumentó el ángulo espacial del polímero PTh.

Química 2024, 6 472

ángulo espacial del polímero de PTh.

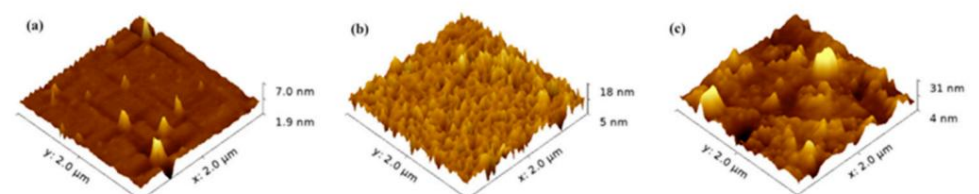


Figura 3. Imágenes AFM de (a) películas compuestas de PTh puro y PMoA/PTh (b) antes y (c) después de la irradiación con luz visible Figura 3. Imágenes AFM de (a) películas compuestas de PTh puro y PMoA/PTh (b) antes y (c) después de ser visibles irradiación de luz.

Figura 3. Imægernæsiæktiktik dentaluperisibles Ebpropoestadeder Politingsecop RMm A/Path F(b) væntæs A (to) saldsplæderaldiación, no había Los espectros de altisológica volvis de PMoA/PTh con tiempos de irradiación variados en el

picoldeasorión dout a del artocode lus visido de relationen. Anaes de unitados injano de bian inguna de expreisión aurora de expressión aurora de expressión

, சேற்லிரிலிழ்த் திவுவுள்ளிரிப் ervalo adicional (IVCT) (Mo6+ → Mo5+) [8]. Como resultado, el formato se del azul heteropolio durante el proceso fotocromático, la película híbrida cambió de traparental a azul y se

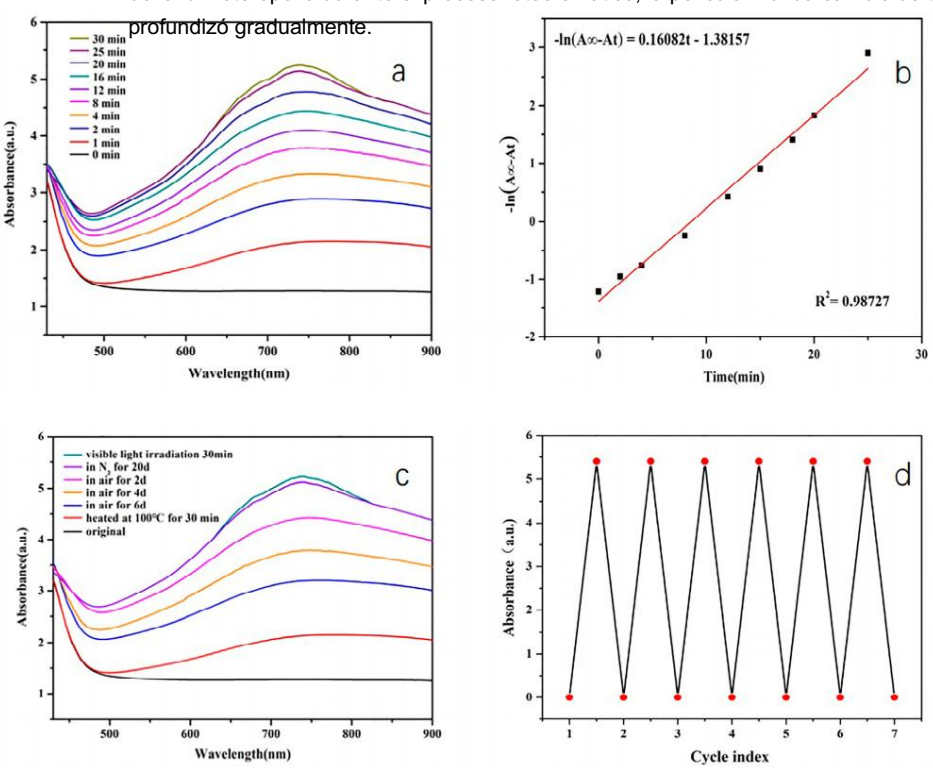


Figura 4. (a) Espectros de absorción UV-Vis de PMoA/PTh con tiempo de irradiación variado en la coloración proceso, (b) Gráfico cinético del proceso fotocrómico de primer orden de la película PMoA/PTh, (c) UV-Vis espectros de absorción de PMoA/PTh en diferentes condiciones en el proceso de decoloración, (d) El reversibilidad del ciclo de coloración de la película PMoA/PTh.

Se analizó más a fondo el proceso cinético de coloración de PMoA/PTh a 740 nm. (Figura 4b). Se revela que el proceso fotocrómico satisface el siguiente primer orden ecuación cinética:

$$-ln(A \infty - At) = kt + b$$

donde A^{∞} es el valor de absorbancia en saturación; At es el valor de absorbancia en diferentes tiempos de irradiación durante el proceso de coloración; k es la constante de velocidad. La constante de velocidad k del proceso de coloración es 0,16 min-1 , indicando las ventajas de la película compuesta en el respuesta fotocrómica.

Película compuesta PMoA/PTh

Química 2024, 6 473

En la Figura 4c, se muestra el proceso de desvanecimiento de la película híbrida PMoA/PTh. Cuando Si la película híbrida PMoA/PTh se colocara en el aire, el color se desvanecería gradualmente, pero si La película híbrida se colocó en una atmósfera de N2 durante 20 días, el color de la película compuesta no se desvanecería. Este fenómeno indicó que el oxígeno juega un papel clave en la promoción de la Decoloración de la película híbrida. También se descubrió que el calentamiento puede acelerar el desvanecimiento. proceso porque la absorbancia se redujo en un 80% cuando la película se calentó a 373 K durante 30 minutos.

Los experimentos del ciclo de coloración-decoloración se realizaron para determinar la reversibilidad de la película híbrida PMoA/PTh. Después de la irradiación con luz visible para alcanzar la absorbancia de saturación, la película podría reutilizarse mediante tratamiento térmico. Como se muestra en la Figura 4d, solo hubo un ligero cambio en la absorbancia después de reciclar 7 veces, lo que demuestra que La película híbrida PMoA/PTh presentó propiedades fotocrómicas favorables, con alta estabilidad y buena reversibilidad de la película fotocromática [13].

Como se muestra en la Tabla 1, la película híbrida PMoA/PTh exhibió una absorbancia máxima alta en comparación con las otras muestras representativas, lo que indicó que el efecto de protonación de PMoA hacia PTh en la película delgada híbrida PMoA/PTh podría aumentar la

Máxima absorbancia y mejoró enormemente las propiedades fotocromáticas del PMoA/PTh. película híbrida.

Material fotocromático	El espesor de las muestras La absorbancia máxima		Referencia
Película fina de hibridación PMoA/PANI	1,8 micras	3,46	[10]
ZnO/PMoA	-	0,21	[14]
WO3 -x QD	-	2,75	[15]
Híbridos PVP/HTA	-	0,78	[dieciséis]
Películas de puntos cuánticos CsPbBr3	-	0,78	[17]
Película compuesta PMoA/ZnO/PVP	-	0,32	[18]
Octamolibdatos de sulfonio aromáticos	de Estado sólido	3.2	[19]

Tabla 1. Comparación de la absorbancia máxima de materiales fotocromáticos.

2.0 um

espectros XPS de Mo 3d para la película híbrida PMoA/PTh sin y con irradiación se exhiben en la Figura 5 y la Tabla 2. Para la película híbrida PMoA/PTh, la Los picos aparecieron a 232,9 eV y 236,0 eV asignados a 3d3/2 y 3d5/2 de Mo6+, respectivamente, y los picos ubicados en 235,5 eV y 231,8 eV fueron asignados a 3d3/2 y 3d5/2 de Mo5+, respectivamente. La aparición de los picos característicos de Mo5+ aquí se puede inferir como Excitación de rayos X. Después de la irradiación, los picos de Mo6+ cambian a 233,0 eV y 236,2 eV, y los picos de Mo5+ aparecen a 231,7 eV y 235,0 eV. Comparado con el espectro anterior irradiación, la energía de unión de 3d de Mo6+ aumenta, y la proporción de Mo5+ también

Para analizar más a fondo el cambio de microambiente químico en el proceso de fotocromismo, se utilizaron

5.27

Este trabaio

aumenta de 0,09 a 0,33, lo que se atribuye a que Mo6+ se convierte en Mo5+. Puede ser concluyó que el microambiente químico de los átomos de Mo ha cambiado debido a la reacción de fotorreducción.

Tabla 2. Energías de unión del nivel de energía Mo3d y relaciones Mo5+/Mo de película híbrida PMoA/PTh Antes y después de la iluminación.

Muestra	Mo5+		Mo6+		
	3d3/2	3d5/2	3d3/2	3d5/2	Relaciones Mo5+/Mo
Antes	231,8	235,5	232,9	236.0	0,09
Después	231,7	235.0	233.0	236.2	0,33

0,09 a 0,33, lo que se atribuye a que Mo6+ se convierte en Mo5+. Se puede concluir que El microambiente químico de los átomos de Mo ha cambiado debido a la fotorreducción. reacción

Química 2024, 6 474

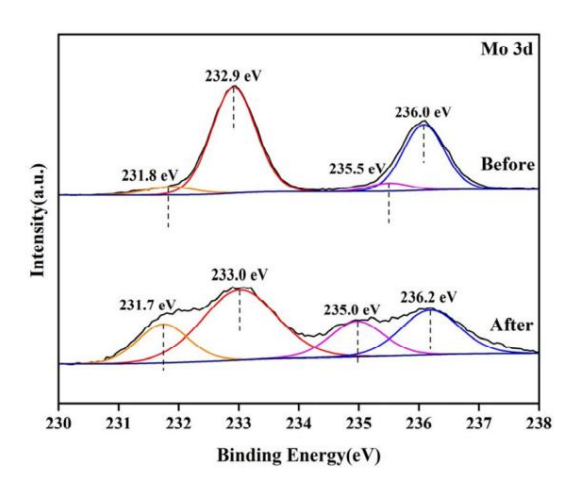


Figura 5. Espectros XPS Mo 3d para película híbrida PMoA/PTh sin y con irradiación. Figura 5. Espectros XPS Mo 3d para película híbrida PMoA/PTh sin y con irradiación.

Para explicar el comportamiento fotocromático anterior, se utilizó el mecanismo de la película híbrida.

Tabla 2. Energías de unión del nivel de energía Mo3d y relaciones Mo5+/Mo de la película híbrida PMoA/P In antes y después investigado de las periodes fotocromáticas de las películas híbridas inorgánicas/orgánicas en este

El papel depende principalmente de las interacciones entre componentes orgánicos e inorgánicos. El

Los Mo6+ Mo5+/Mes Mo5+/Mes Mo5+/Mes Mo5+ Mo5+/Mes Muesigaes metálicos Mo5+ en los polioxometalatos oxidados tienen configuraciones electrónicas d0 ; por lo tanto, 3d3/2 3d5/2 3d3/2 3d5/2 3d5/2 proporciones de los electrones de baja energía de los orbitales 2p del oxígeno que se excitaron a un estado de metal de alta energía Antes 231,8 235,5 232,9 236,0 0,09 de los orbitales d tras la irradiación, que es el llamado ligando a metal de oxígeno a metal (OM).

Después 233,0 0,33 231,7 235,0 las cargas de electrones y huecos se separaron, proporcionando

una condición para la coloración estable de la película compuesta. El agujero dejado en el átomo de oxígeno.

Paranterietud cometecinonés mocráticamies con el Mo6+ investigade landrogie deden da paremática no de se película habrida eiropa haizan es cáraca el como investigade

El papel devando diccipalmenta de les ditar en entre francemento de participa de inversión de la final de la companyone de la

los iones metálicos en los polioxometalatos oxidados tienen configuraciones electrónicas d0 ; por lo tanto, condiciones aeróbicas para que los polioxometalatos se oxidaran. Los electrones de baia energía de los ama de la societa de la secución a un estado de metal de alta energía. Los electrones de baia energía el delos riordes de metal de alta energía de la pelicula mibil da Pilio A/P fin.

orbitales d tras la irradiación, que es el llamado ligando-metal (O-M) de oxígeno a metal en la Figura 6. Debido a la protonación, la densidad electronica de PMoA disminuyó durante la Chemistry 2024, 6, FOR PEER REVIEWINTERACIÓN de interacción con PTh, provocando así el corrimiento al rojo espectral, lo que verificó la existencia de condición para la coloración estable de la película compuesta. El aquiero dejado en el átomo de oxigeno.

Interacción de interfaz entre PMOA y PTh. Después de la exposición a la luz, el heteropoliácido es interactuó con electrones no enlazantes en el átomo de azufre de PTh. En este proceso, el Mo6+

El átomo se readu de anazul de heteropolicy los protocres se aran efference Alma.

ocurrió el proceso, un electrón transferido del átomo de Mo5+ a la molécula de oxígeno

O Mo(VI) en condiciones aeróbicas para que los polioxometalatos se oxidaran. El diagrama del mecanismo fotocromático de la película híbrida PMoA/PTh se muestra en

Figura 6. Debido a la protonación, la densidad electrónica de PMoA disminuyó durante la interacción. ción con PTh, provocando así el corrimiento al rojo espe<u>ctral, lo que verificó</u> la existencia de interfaz interacción entre PMoA y PTh. Después de la exposición a la luz, el heteropoliácido se reduce.

al azul heteropolio y los protones se transfieren a PMoA.

(b)

FEIGURE BIADIADIA DE L'ARGANTA DE L'ARGANTA DE CANTON DE L'ARGANTA DE L deligible sustangoión apelículai compurate statementa transporte sustantes del de la computación de la

4.4 Conclusiones

Los materiales fotocromáticos PMoA/PTh se prepararon dejando caer el híbrido
Los materiales fotocromáticos PMoA/PTh se prepararon dejando caer la solución híbrida sobre el
sustrato para formar una pelicula. Las geometrias de PMoA y PTh estaban bien
lución sobre el sustrato para formar una pelicula. Las geometrias de PMoA y PTh se conservaron bien en
una pelicula hibrida según los espectros FTIR. Tras la irradiación, los protones en
servido en película hibrida según espectros FTIR. Tras la irradiación, los protones del polímero orgánico se
excitan y se transfieren a PMoA a través de un puente de transferencia de carga.
El polímero orgánico se excita y transfiere a PMoA a través de un puente de transferencia de carga.
El polí azul se generó en una reacción de fotorreducción acompañada del cambio de il poli azul se generó en una reacción de fotorreducción acompañada del cambio de microambiente químico. El proceso de blangueo se produjo cuando los atomos de Mo5+ se oxidaron. microambiente químico. El proceso de blanqueo se produjo cuando los átomos de Mo5+ se oxidaron a atomos de Mo6+ en presencia de oxigeno. Además, la pelicula hibrida fue favorable a átomos de Mo6+ en presencia de oxígeno. Además, la película híbrida tenía una reversibilidad y estabilidad favorables. El proceso de protonación entre PMoA y la matriz de PTh se consideró la causa principal de la reacción fotoquímica.

Contribuciones de autor:. WZ contribuyó a la organización general de todos los experimentos y a la redacción del borrador original. HZ (Hongmei Zhao) contribuyó a los experimentos de propiedades fotocromáticas,

Química 2024, 6 475

reversibilidad y estabilidad. El proceso de protonación entre PMoA y la matriz de PTh se consideró la causa principal de la reacción fotoquímica.

Contribuciones del autor: WZ contribuyó a la organización general de todos los experimentos y a la preparación del borrador original. HZ (Hongmei Zhao) contribuyó a experimentos de propiedades fotocromáticas, análisis y visualización de datos. WF contribuyó a la preparación y caracterización de las muestras. HZ (Honggang Zhao) contribuyó aportando ideas para todos los experimentos, metodología y supervisión. Todos los autores han leído y aceptado la versión publicada del manuscrito.

Financiamiento: Esta investigación no recibió financiamiento externo.

Declaración de disponibilidad de datos: los datos están contenidos en el artículo.

Conflictos de intereses: Los autores declaran no tener conflictos de intereses.

Referencias

- 1. Qin, B.; Chen, HY; Liang, H.; Fu, L.; Liu, X.; Qiu, X.; Liu, S.; Canción, R.; Tang, Z. Fluorescencia fotocommutable reversible en películas delgadas de conjuntos de polioxometalatos y nanopartículas inorgánicas. Mermelada. Química. Soc. 2010, 132, 2886–2888. [Referencia cruzada] [PubMed]
- 2. Gu, HX; Bi, LH; Fu, Y.; Wang, N.; Liu, S.; Tang, Z. Conmutación de fotoluminiscencia controlada eléctricamente en varios estados. Química. Ciencia. 2013, 4, 4371–4377. [Referencia cruzada]
- 3. Lu, J.; Zhang, X.; Mapa.; Singh, V.; Zhang, C.; Niu, J.; Wang, J. Comportamiento fotocrómico de un nuevo polioxomolibdato/alquilamina compuesto en estado sólido. J. Mater. Ciencia. 2018, 53, 3078–3086. [Referencia cruzada]
- 4. Graça, VC; Sousa, CM; Coelho, P. Hacia la coloración gris de materiales fotocromáticos utilizando vinilideno-naftofuranos. Teñir. Pigmento.
- 5. Bao, HF; Wang, XY; Yang, GQ; Li, H.; Zhang, F.; Feng, W. Fotocromismo de luz ultravioleta y luz visible de compuestos inorgánicos-orgánicos. Películas multicapa a base de polioxometalato y poli(acrilamida). Polímero coloide. Ciencia. 2014, 292, 2883–2889. [Referencia cruzada]
- Jing, XF; Zou, DL; Meng, QQ; Zhang, W.; Zhang, F.; Feng, W.; Han, X. Fabricación y fotocromismo en luz visible de una nueva película híbrida inorgánica-orgánica basada en polioxometalatos y etilcelulosa. Inorg. Química. Comunitario. 2014, 46, 149-154. [Referencia cruzada]
- Zhang, J.; Zou, Q.; Tian, H. Materiales fotocromáticos: más de lo que parece. Adv. Madre. 2013, 25, 378–399. [Referencia cruzada] [PubMed] 8.
 Toshihiro, Y. Foto y electrocromismo de polioxometalatos y materiales relacionados. Química. Rev. 1998, 98, 307–326.
- 9. Chen, J.; MeiAi, L.; Feng, W.; Xiong, DQ; Liu, Y.; Cai, WM Preparación y fotocromismo de nanocompuestos basados en películas delgadas sobre polioxometalato y polietilenglicol. Madre. Letón. 2007, 61, 5247–5249. [Referencia cruzada]
- 10. Zeng, Oregón; Guo, SY; Sol, YB; Li, Z.; Feng, W. Propiedades fotocromáticas de luz óptica mejoradas inducidas por protonación de una película delgada híbrida de ácido fosfomolíbdico inorgánico-orgánico/polianilina. Nanomateriales 2020, 10, 1839. [CrossRef] [PubMed]
- 11. Lu, C.; Sol, Y.; Liu, JL; Wang, X.; Liu, SL; Feng, W. Fotocromismo mejorado del compuesto de heteropoliácido / polivinilpirrolidona película por dopaje con TiO2. J. Aplica. Polimero. Ciencia. 2015, 132, 41583. [Referencia cruzada]
- 12. Sol, Y.; Wang, X.; Lu, Y.; Xuan, L.; Xia, S.; Feng, W.; Han, X. Preparación y fotocromismo en luz visible de fosfomolíbdicos. película híbrida ácido/polivinilpirrolidona. Química. Res. Mentón. Univ. 2014, 30, 703–708. [Referencia cruzada]
- 13. Wei, Y.; Han, B.; Dong, Z.; Feng, W. Matrices de nanotubos de TiO2 altamente organizadas modificadas con ácido fosfomolíbdico con rápido rendimiento fotocrómico. J. Mater. Ciencia. Tecnología. 2019, 35, 1951–1958. [Referencia cruzada]
- 14. Yue, T.; Han, B.; Wang, X.; Fianza.; Feng, W. Rendimiento fotocromático instantáneo de luz visible de polvos compuestos basados en nanotubos de PMoA y ZnO. Química. Letón. 2019, 48, 851–854. [Referencia cruzada]
- 15. Liu Qi Hu Ch Wang, X. Síntesis hidrotermal de puntos cuánticos de óxido de tungsteno con deficiencia de oxígeno con excelente fotocromía reversibilidad. Aplica. Navegar. Ciencia. 2019, 480, 404–409.
- Li, D.; Wei, J.; Dong, S.; Li, H.; Xia, Y.; Jiao, X.; Wang, T.; Chen, D. Nuevos híbridos PVP/HTA para papel reescribible multifuncional. Aplicación ACS. Madre. Interfaces 2018, 10, 1701–1706. [Referencia cruzada] [PubMed]
- 17. Qaid, SM; Alharbí, FH; Bedja, I.; Nazeeruddin, MK; Aldwayyan, AS Reducción del umbral de emisión espontánea amplificada en películas de puntos cuánticos CsPbBr3 mediante el control de la capa compacta de TiO2. Nanomateriales 2020, 10, 1605. [CrossRef] [PubMed]
- 18. Canción, T.; Li, J.; Deng, Q.; Gao, Y. Preparación, caracterización, propiedades fotocromáticas y mecanismo de película compuesta PMoA/ZnO/PVP. Moléculas 2023, 28, 7605. [CrossRef] [PubMed]
- Kumar, A.; Gupta, Alaska; Devi, M.; Gonsalves, KE; Pradeep, CP Ingeniería Multifuncionalidad en polioxometalatos híbridos: octamolibdatos de sulfonio aromáticos como excelentes materiales fotocromáticos y catalizadores autoseparables para la epoxidación. Inorg.
 Química. 2017, 56, 10325–10336. [Referencia cruzada] [PubMed]

Descargo de responsabilidad/Nota del editor: Las declaraciones, opiniones y datos contenidos en todas las publicaciones son únicamente de los autores y contribuyentes individuales y no de MDPI ni de los editores. MDPI y/o los editores renuncian a toda responsabilidad por cualquier daño a personas o propiedad que resulte de cualquier idea, método, instrucción o producto mencionado en el contenido.